BREVET DE TECHNICIEN SUPERIEUR

PRODUCTIQUE MECANIQUE

E4: CONCEPTION DES OUTILLAGES

Sous épreuve : U41 – Analyse et validation d'un outillage

Sous épreuve : U 42 – Conception d'un outillage

DOSSIER TECHNIQUE

Contenu du dossier

DT1	Présentation du contexte de l'étude								
DT2	Dessin de définition de la poignée usinée								
DT3	Nomenclature des phases								
DT4	Contrat de phase nº 10	Désignation des opérations							
DT5	Contrat de phase nº 10	Schéma de mise en position							
DT6	Dessin de l'outillage								
DT7	Nomenclature de l'outillage								
DT8	Dossier machine								

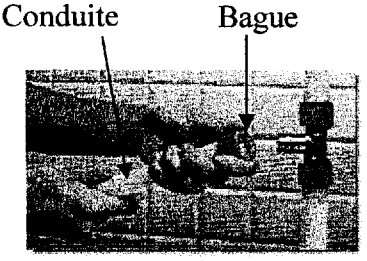
PRESENTATION DU CONTEXTE DE L'ETUDE

1°) Fonction de l'appareil fabriqué.

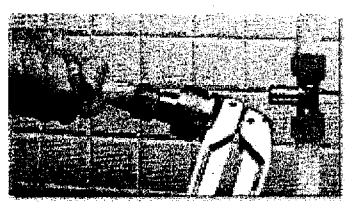
L'étude porte sur la fabrication de pinces d'expansion électro-hydraulique. Ces pinces sont aptes à réaliser rapidement des raccords de 32 à 50mm de diamètre, complétant de la sorte la gamme des pinces d'expansion manuelle réservée aux raccords de diamètre 12 à 25mm.

Le principe de réalisation d'un raccord est succinctement décrit ci dessous.

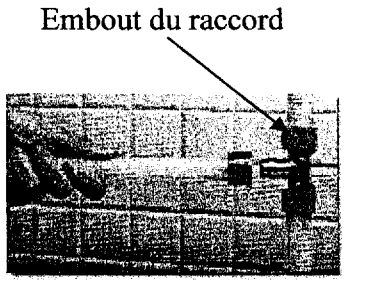
Exemple pour une pince manuelle



1°) Glisser la bague sur la conduite



2°) Soumettre la conduite et la bague à l'expansion



3°) Glisser l'ensemble conduite bague sur l'embout du raccord

2°)L'entreprise Virax usine les corps des pinces d'expansion électro-hydraulique depuis un certain temps.

Le corps brut en Al Si 7Mg forgé était usiné entièrement, puis peint après protection des surfaces préalablement usinées.

Dans un souci de diminution du prix de revient et d'amélioration de la qualité du produit, elle décide :

- ➤ Les bruts des corps de pince en Al Si 7 Mg forgés seront dorénavant peints avant usinage. (Cette décision va permettre de supprimer la phase assez longue de protection, des surfaces usinées, avant peinture)
- Diminuer les tolérances de certaines cotes fonctionnelles.
- Minimiser les temps de montage et démontage de la pièce.

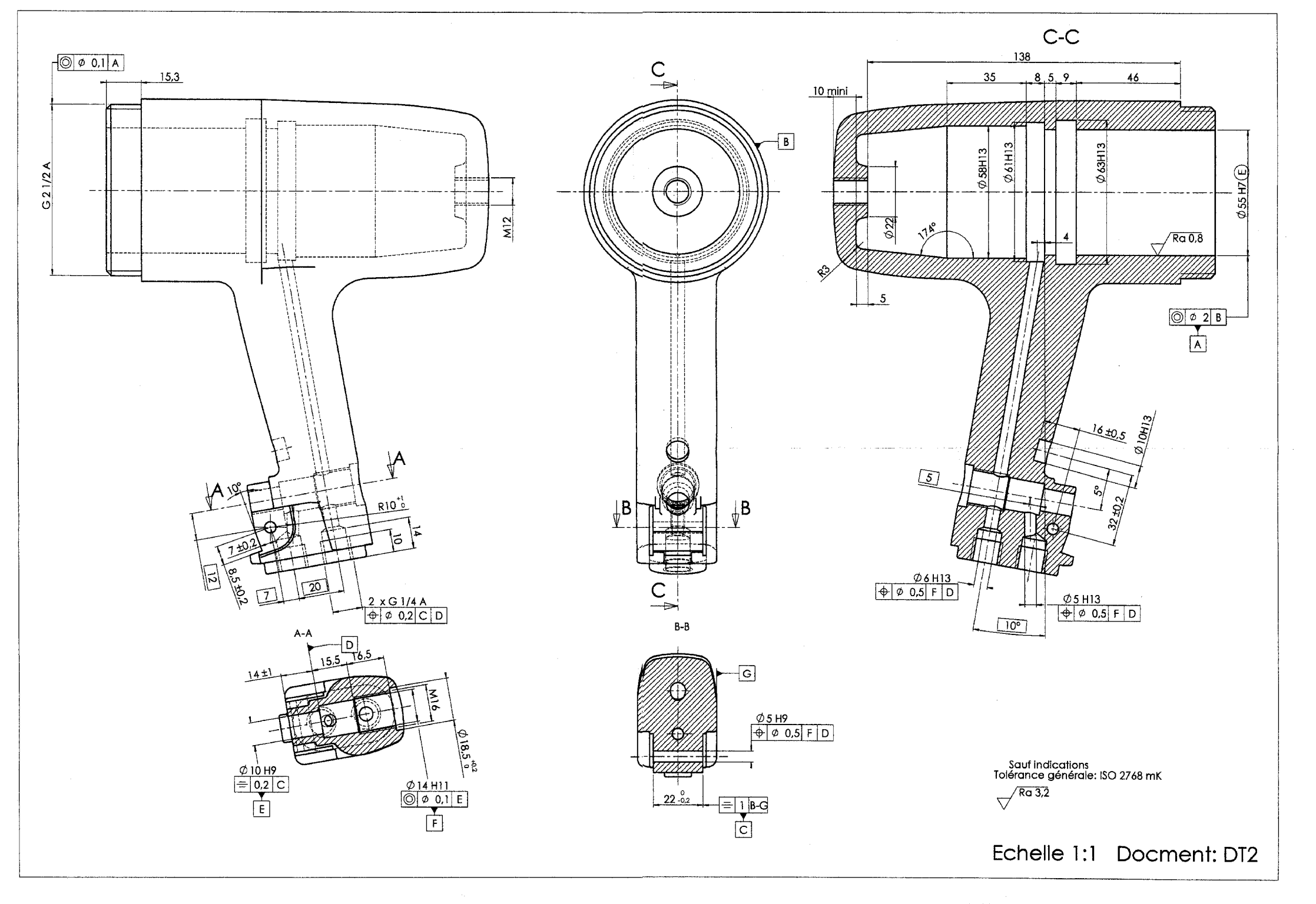
En conséquence le bureau des méthodes, dans l'attente des bruts peints, désire, en fonction des nouvelles contraintes imposées :

- Peinture fragile (éviter la détérioration, le matage ...)
- Coefficient de frottement des pièces peintes sur le montage faible (f = 0,08)
- Diminution de certaines tolérances.

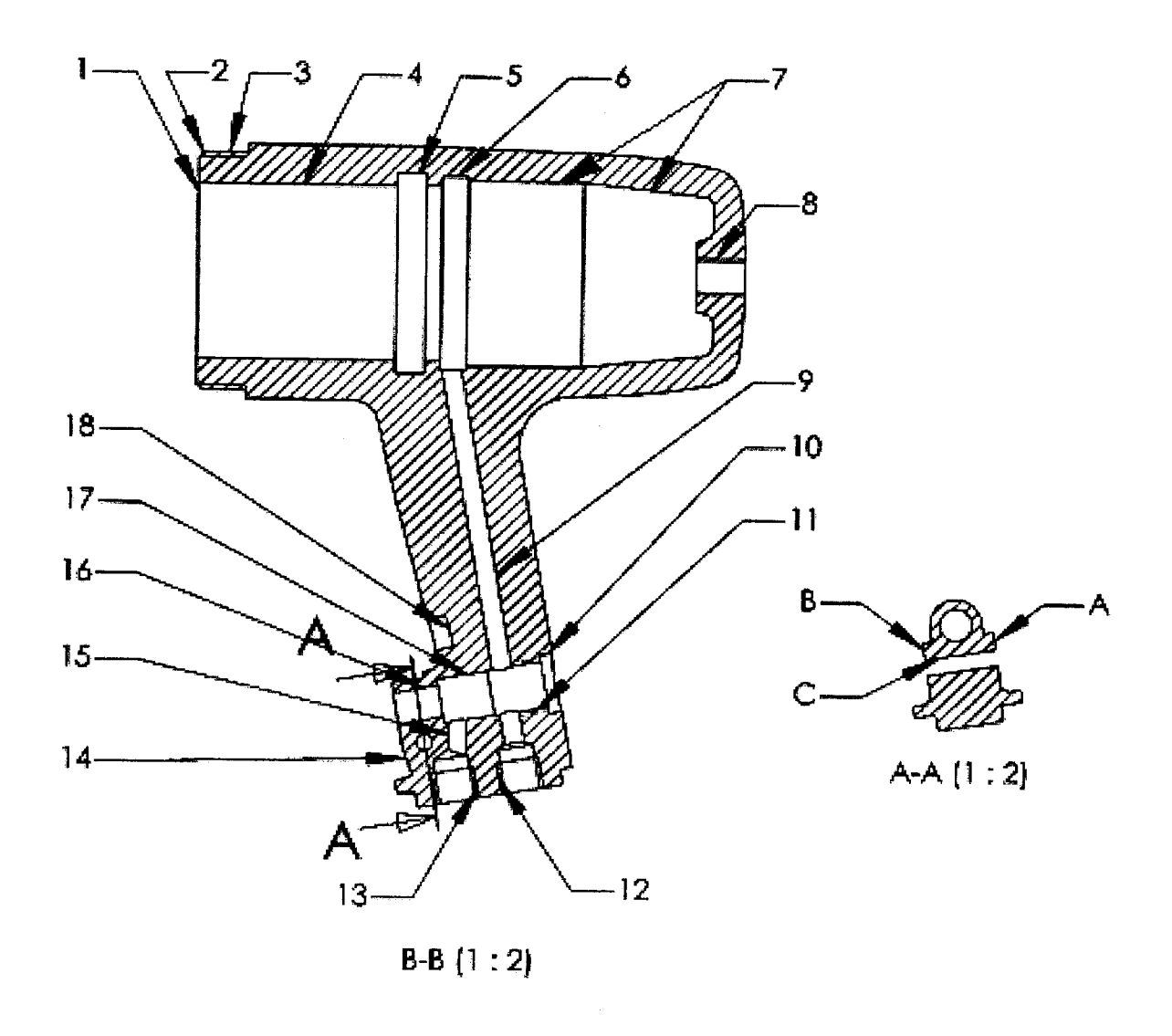
vérifier si le montage utilisé précédemment (pour les pièces non peintes) pourrait être utilisé tel quel. Pourrait-on apporter des modifications pour une optimisation et lesquelles ?



Corps de pince brut en Al Si 7 Mg forgé et peint.



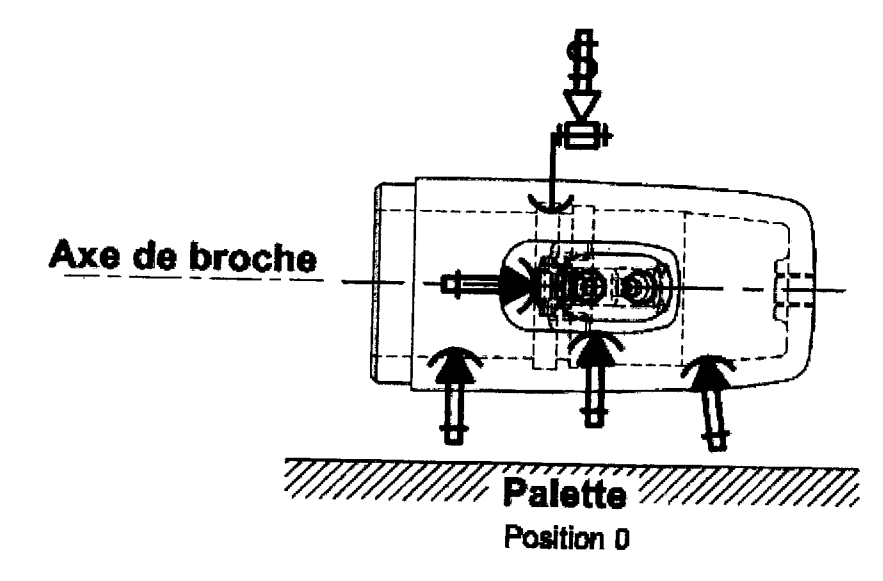
	MEMCLATURE DES PHASES	BUREAU DES METHODES			
Phase Désignation		Programme : 200 pièces par mois Machine -outil	Observations		
00	Contrôle du brut, peinture		ODSCI VALIOIIS		
10	Fraisage 1 à 18	Centre usinage HELLER MC16	Montage 0001		
20	Fraisage A à C	Centre usinage HELLER MC16	Montage 0001		
30	Contrôle	Traditionnel + MMT	mornage 0002		

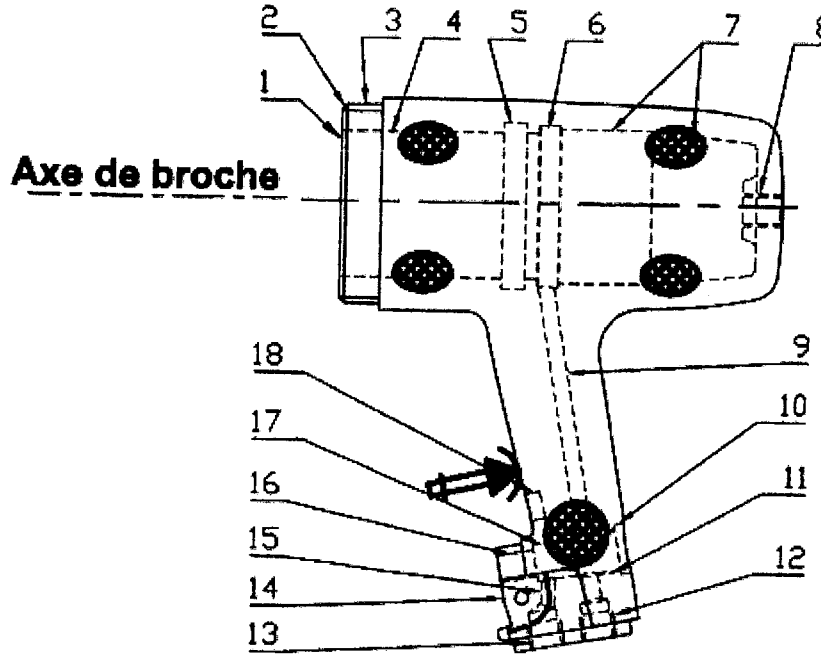


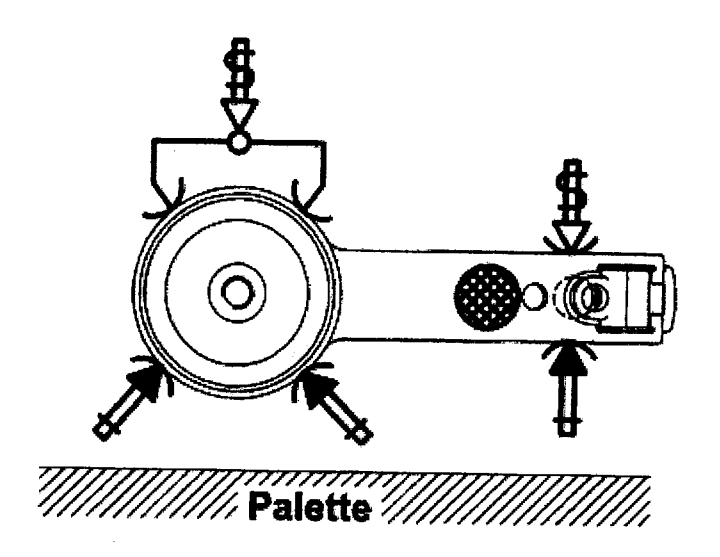
Le dessin du brut en CAO permet de générer les fichiers de réalisation des matrices et du programme de contrôle en MMT.

L'homogénéité de la pièce et la qualité de la surface seront contrôlées.

CONTRAT DE PHASE	Ense	emble : Pince d'expansion					
(simplifié)		nent : Corps	BUREA	NU DES			
PHASE N°10	Matie	ère : Al Si 7 Mg	METHODES				
NOM:		ramme : 200 pièces par mois	Date :				
DESIGNATION : Fraisage (ON I	MACHINE OUTIL : Centre d'us	inage HELLER	MC16			
Désignation des opérati	ons	Outil de coupe	N tr/min	Vf mm/min			
Palette 180°							
Perçage ébauche 4	···	Foret carbure $\phi 50$	1500	170			
Surfaçage 1		Fraise φ 20	6000	700			
Fraisage 3		Fraise φ 20	6000	700			
Alésage ébauche 4		Barre d'alésage	1200				
Fraisage gorge 5 et 6		Fraise gorge	650	180 40			
Fraisage 7	· ·	Fraise à bout sphérique	2500	150			
Position palette 0°		a.oo a boat opnorique	2300	130			
Perçage 8		Foret	2500	350			
Taraudage 8		Taraud M12	1000	1000			
Position palette 180°				1000			
Fraisage chanfrein 2		Fraise conique	400	50			
Fraisage filetage 3		Fraise pas 2,3	850	210			
Position palette 280°				1			
Perçage 12 et 13		Foret ϕ 11,4 2500					
Perçage 9		Foret	2000	350 400			
Taraudage 12 et 13	-	Taraud G ¼ A	401	300			
Position palette 10°							
Perçage ébauche 16		Foret ϕ 9,75	2500	350			
Fraisage 17		Fraise ϕ 12	2000	100			
Fraisage 11		Fraise ϕ 12	2000	100			
Fraisage 10		Fraise	2000	100			
Alésage finition 16		Alésoir φ 10	800	300			
Taraudage 11		Taraud M16	400	800			
Position palette 270°							
Perçage 15		Foret ϕ 5	3000	200			
Position palette 195°							
Fraisage 18		Fraise	2000	200			
Position palette 290°							
Fraisage 14		Fraise	2000	300			
Position palette 180°				 			
Alésage finition 4		Alésoir φ 55H7	1000	200			



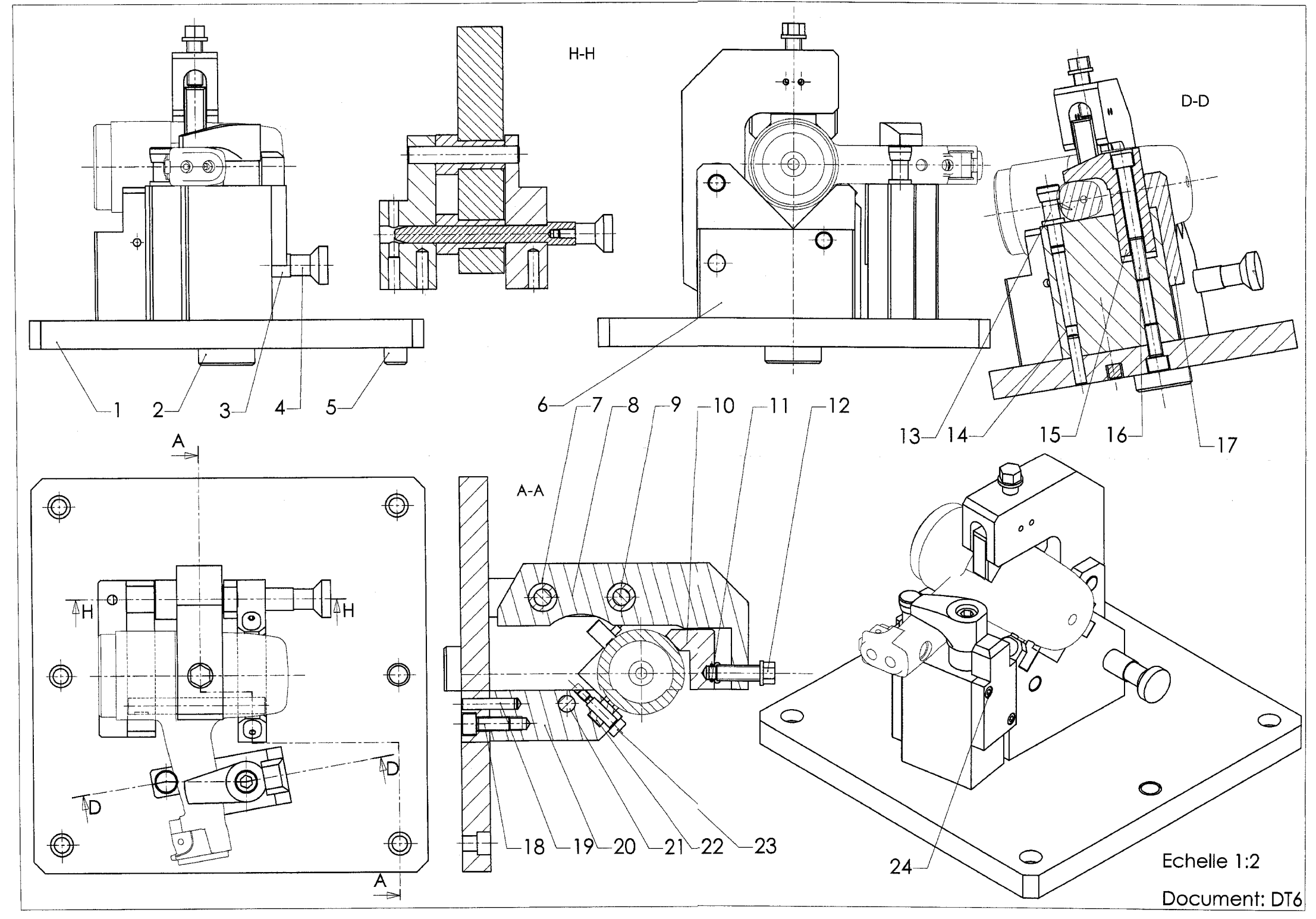




PHASE N°10

Représentation symbolique de:

- la mise en position isostatique
- du bridage



24	2	Vis CHC, M6-16, 8.8			
23	2	Vis épaulée			
22	2	Touche flottante	40 Cr Mn Mo 8	Prétraité	
21	1	Axe butée du levier de serrage	C 35		
20	1	Vé arrière	E 360		
19	6	Goupille 10 x 50			
18	6	Vis CHC, M12-35,8.8			
17	1	Anti rotation de crochet de bridage	E 360		
16	1	Vis CHC, M12-100, 8.8			
15	1	Crochet de bridage	40 Cr Mn Mo 8	Prétraité	
14	1	Support butée poignée	40 Cr Mn Mo 8	Prétraité	
13	1	Diabolo	40 Cr Mn Mo 8	Prétraité	
12	1	Vis verticale	40 Cr Mn Mo 8	Prétraité	
11	2	Goupille élastique ISO 8752 – 6 x 30			
10	1	Palonnier	40 Cr Mn Mo 8	Prétraité	
9	1	Axe de levier	C 35		
8	1	Levier de serrage	E 360		
7	2	Bague entretoise	C 35		
6	1	Vé avant	40 Cr Mn Mo 8	Prétraité	
5	1	Centreur de 30	C 35		
4	1	Bouton champignon			NLM 06242-08
3	1	Broche	C 35		
2	1	Centreur de 50	C 35		
1	1	Semelle	E 360		
Rep	Nb	Désignation	Matière	Observations	Référence
F					

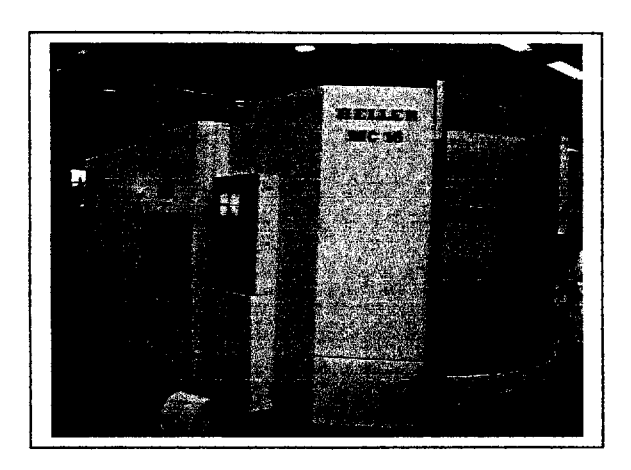
DOSSIER MACHINE

Le <u>centre d'usinage horizontal 4 axes</u> <u>palettisé</u>, Heller MC16, est un modèle compact conçu pour des usinages de production rapides avec une configuration flexible, l'ensemble conduisant à des réductions de temps de cycles en limitant les temps morts.

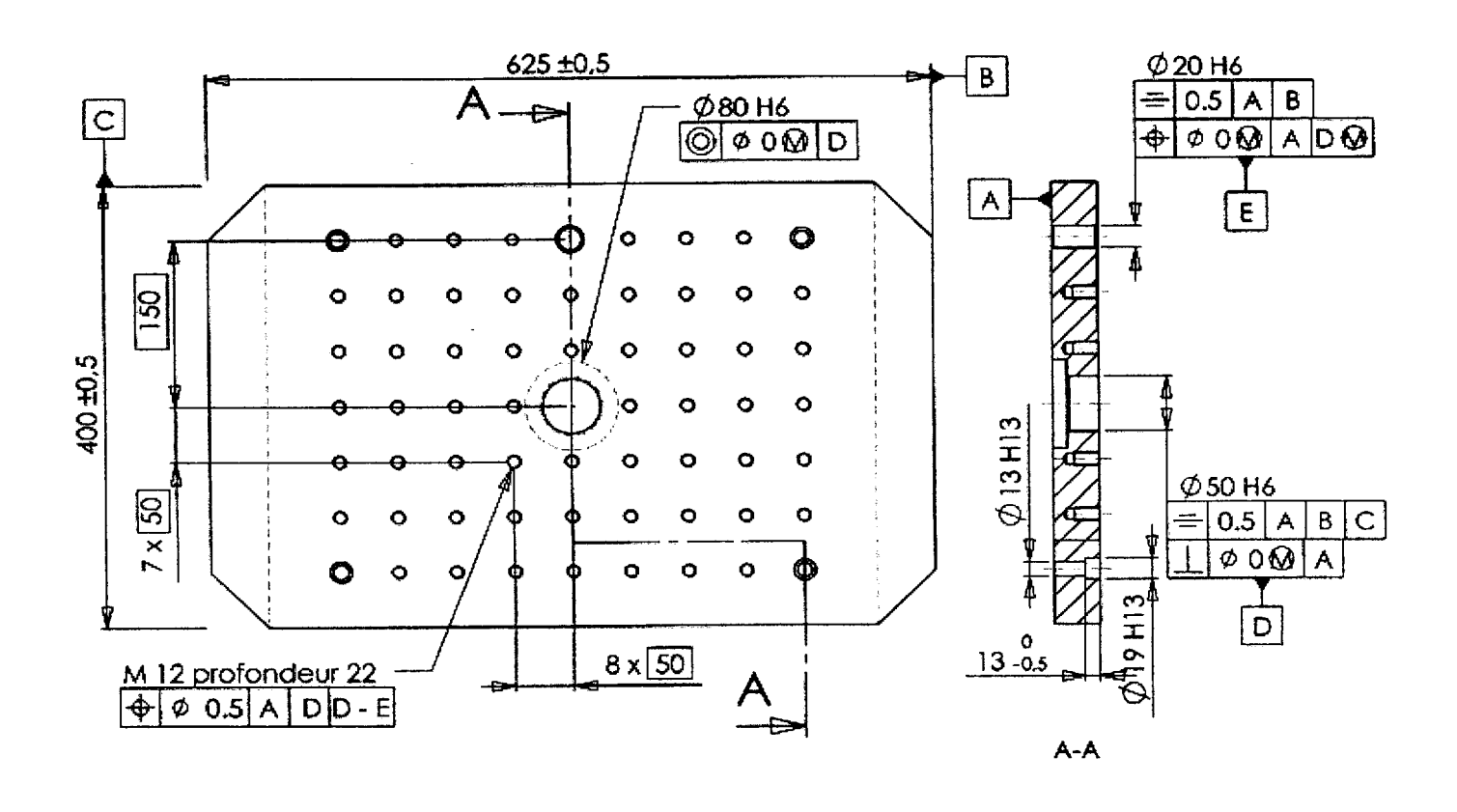
La broche atteint une fréquence de 8000tr/min en moins de 0,5s,

les temps de changements d'outils ne sont que de 4s pour des outils jusqu'à 150mm de diamètre,

les temps de changement de palettes sont de 8s.



CARACTERISTIQUE DE LA TABLE - ENTRETOISE



BREVET DE TECHNICIEN SUPERIEUR

PRODUCTIQUE MECANIQUE

E4: CONCEPTION DES OUTILLAGES

Sous-épreuve : U.41 – Analyse et validation d'un outillage

Durée: 3 heures 30 Coefficient: 2,5

Aucun document autorisé

Contenu du dossier:

- Sous dossier :

Document contexte de l'étude (1 feuille)

Documents sujets (8 pages)

- Sous dossier:

Documents annexes: (1, 2, 3, 4, 5)

Cette sous-épreuve a pour objectif de valider les compétences :

- C 21: analyser une solution d'outillage

- C 23: Valider et/ou dimensionner tout ou une partie d'une solution technologique

- C 24 : Améliorer une solution d'outillage

CALCULATRICE AUTORISEE

Sont autorisées toutes les calculatrices de poche, y compris les calculatrices programmables, alphanumériques ou à écran graphique à condition que leur fonctionnement soit autonome et qu'il ne soit pas fait usage d'imprimantes.

Le candidat n'utilise qu'une seule machine sur la table. Toutefois, si celle-ci vient à connaître une défaillance, il peut la remplacer par une autre.

Afin de prévenir les risques de fraude, sont interdits les échanges de machine entre les candidats, la consultation des notices fournies par les constructeurs ainsi que les échanges d'informations par l'intermédiaire des fonctions de transmission des calculatrices.

PME4AVO

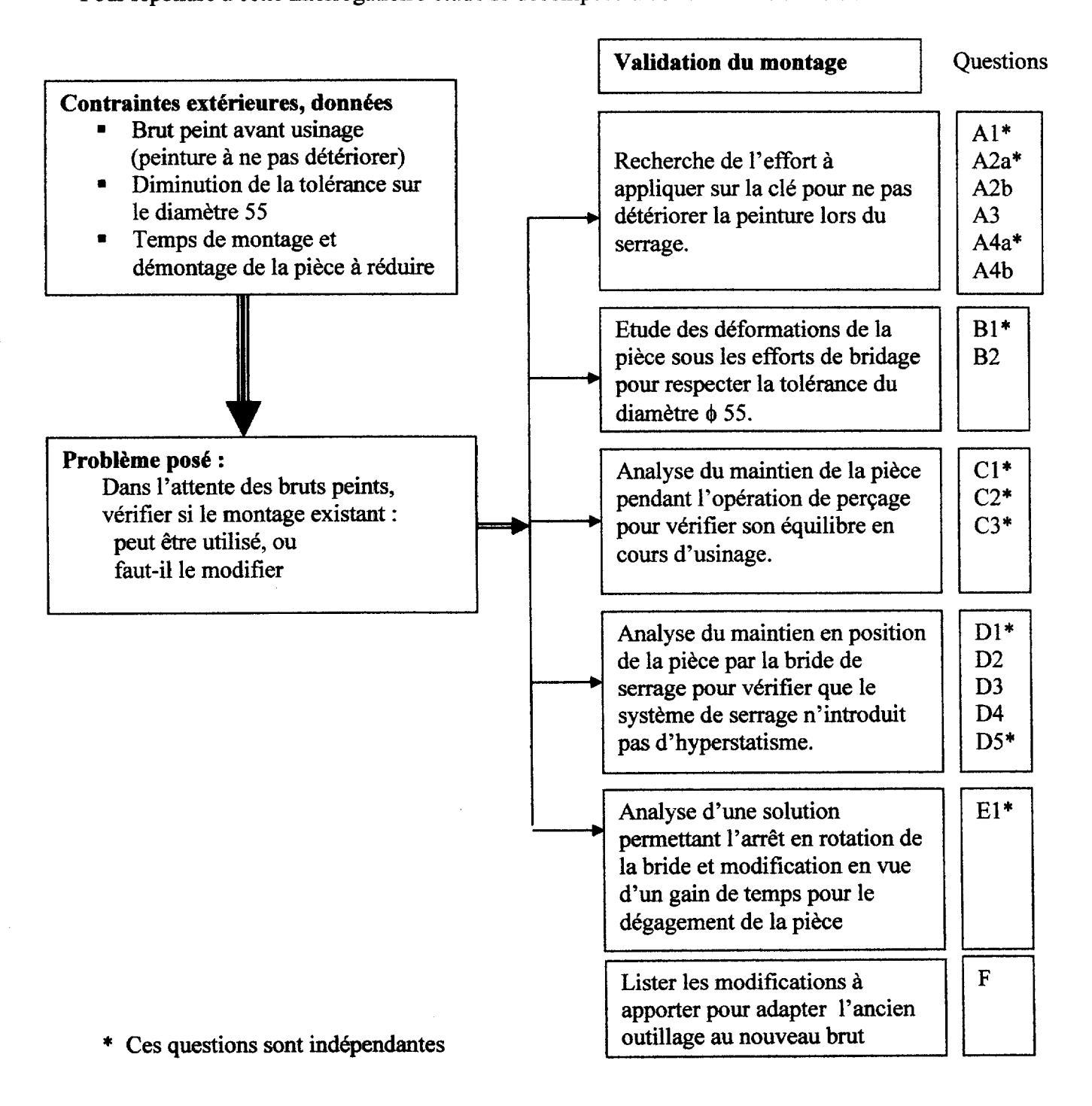
page 1/14

CONTEXTE D'ETUDE RELATIVE A LA SOUS EPREUVE U41

L'étude portera sur l'utilisation possible ou non du montage existant en fonctions des nouvelles contraintes imposées.

- > Brut peint avant usinage
- Diminution de la tolérance sur le diamètre \$\phi55\$
- > Diminuer le temps le montage et démontage de la pièce dans le porte pièce

Pour répondre à cette interrogation l'étude se décomposera de la manière suivante



A - Recherche de l'effort à exercer sur la clé pour ne pas détériorer la peinture

1°) Recherche des actions de contact entre le corps de pince et les touches du palonnier 10

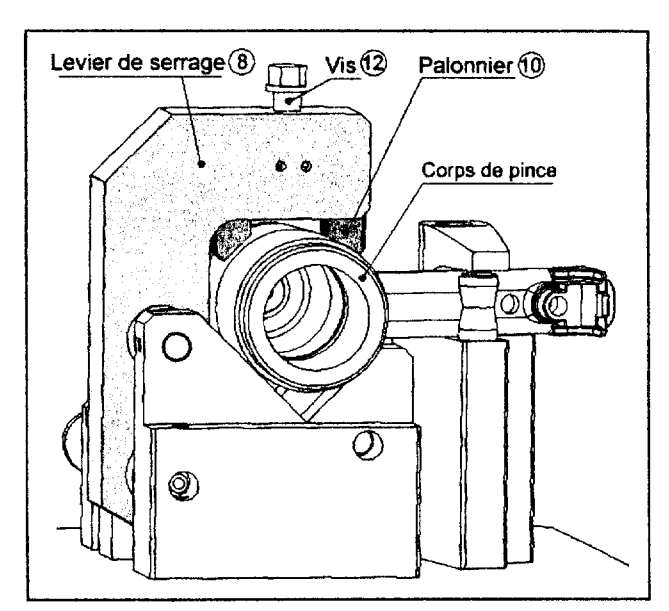
Afin de ne pas détériorer la peinture par marquage, la pression de contact doit rester inférieure à 400 MPa.

- On supposera que le contact cylindre/plan est un contact linéaire de longueur 18mm
- Le diamètre du corps de pince en contact avec le palonnier est égal à 80mm
- Les modules d'élasticité longitudinale sont : $E_1 = 70000 MPa$, pour le corps de pince pour le palonnier en acier $E_2 = 210000$ MPa,

Rappel: Pression de contact (MPa)

$$p = 0.59 \sqrt{\frac{\|\vec{F}\|}{l}} \frac{E_{eq}}{r_{eq}}$$

avec



||F||: module de l'effort de contact entre les deux pièces (N).

l: longueur du contact entre les deux pièces (mm).

 E_{eq} : module d'élasticité longitudinale équivalent (MPa).

 E_1 : module d'élasticité longitudinale de la pièce 1.

 E_2 : module d'élasticité longitudinale de la pièce 2.

$$\frac{1}{E_{eq}} = \frac{1}{E_1} + \frac{1}{E_2}$$

 r_{eq} : rayon équivalent (mm).

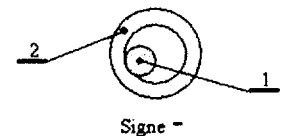
 r_1 : rayon de la pièce 1.

 r_2 : rayon de la pièce 2 \rightarrow ici rayon infini (plan) $r_2 = \infty$

 $\frac{1}{r_{eq}} = \frac{1}{r_1} \pm \frac{1}{r_2}$ ou le signe est déterminé par la nature du contact



Signe +



Question A.1:

Déterminer le module maximum de l'effort de contact F entre le corps de pince et une touche du palonnier.

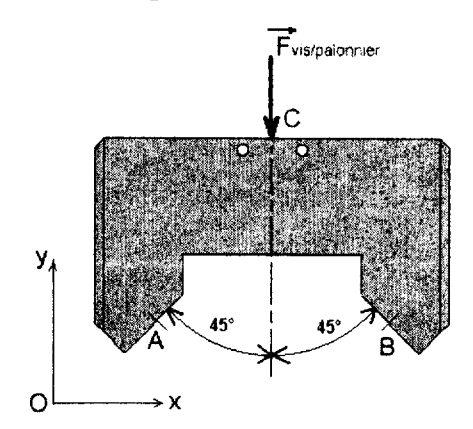
page 3/14

2°) Recherche de l'effort axial maxi exercé par la vis12 sur le palonnier 10

Ayant calculé à la question A.1 le module F des actions de contact en A et B, on se propose de déterminer l'action $F_{\text{vis/palonnier}}$

Hypothèses:

- Répartition de pression uniforme des actions au niveau des contacts linéiques en A et B du corps de pince avec le palonnier (adhérence négligée).
- Système parfaitement symétrique, considéré comme plan (O; x, y)



Question A.2a:

Placer sur un schéma ou croquis, les actions de contact en A et B, du corps de pince sur le palonnier.

Question A.2 b:

D'après la réponse à la question A.1, calculer, en écrivant uniquement les équations de projection des forces dans le repère Oxy, l'intensité de $F_{vis/palonnier}$

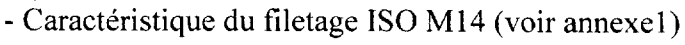
3°) Recherche du couple de serrage maxi à exercer sur la vis 12 pour ne pas détériorer la peinture

Hypothèses:

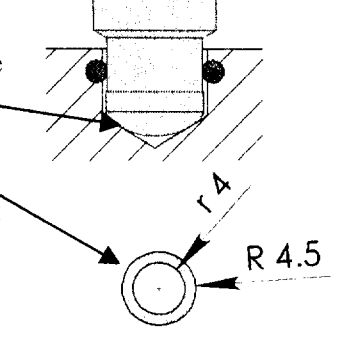
- La vis à bout sphérique a un diamètre M14.
- La <u>zone de contact de la partie sphérique dans le cône sera assimilée</u> à une couronne plane :

de rayon intérieur r = 4 mm et de rayon extérieur R = 4.5mm

Le facteur d'adhérence entre l'extrémité de la vis et le palonnier est :
 μ = 0,1
 Caractéristique du filotoge ISO M14 (voir appayet)



- Le facteur d'adhérence au niveau des filets est : $\mu = \tan \varphi = 0,1$



L'équation d'équilibre des moments sur la vis suivant l'axe de celle-ci s'écrit

$$\left\| \overrightarrow{C_{\text{Clé}/\text{Vis}}} \right\| = \left\| \overrightarrow{C_{\text{ft}}} \right\| + \left\| \overrightarrow{C_{\text{ff}}} \right\| \quad \text{avec}$$

Couple d'adhérence au niveau des filets (Cff)

$$\|\overrightarrow{Cff}\| = \|\overrightarrow{F_{palonmer/vis}}\| \times \frac{d_2}{2} \times \tan(\varphi' + \alpha)$$

avec φ' : angle tel que $\tan \varphi' = \frac{\tan \varphi}{\cos \beta}$

 β : demi-angle au sommet du filet (pour un profil ISO β =30°)

 φ : angle de frottement

 α : angle d'inclinaison d'hélice $\tan \alpha = \frac{pas}{\pi \times c}$

Couple d'adhérence au niveau de l'extrémité de la vis (*Cft*) $\|\overrightarrow{Cft}\| = \frac{2}{3} \times \left(\frac{R^3 - r^3}{R^2 - r^2}\right) \times \mu \times \|\overrightarrow{F_{palonnier/vis}}\|$

Question A.3:

Calculer le couple Cmaxi clévis exercé par la clé sur la tête de la vis 12 pour ne pas détériorer la peinture.

4°) Recherche de l'effort à exercer en bout de clé

En respect avec les principes ergonomiques, l'utilisateur peut exercer un effort maxi de 120N en bout de clé à tube, perpendiculairement à celle-ci. Sa longueur est de 160mm.

Question A.4 a:

Dans ces conditions calculer le couple maxi C_{max} applicable par l'utilisateur sur la tête de vis 12.

Question A.4 b:

Comparer ce couple maxi C_{max} et le couple Cmaxi clévis utile pour ne pas détériorer la peinture. Que pouvez vous en déduire.

Proposer un équipement technique pour exercer un couple de serrage compatible avec la non détérioration de la peinture.

B - Etude des déformations de la pièce sous les efforts de bridage

1°) Recherche de l'influence des efforts de bridage sur la réalisation du diamètre ϕ 55.

Sur les nouvelles pièces, le diamètre \$55 est un diamètre fonctionnel précis, nous devons vérifier l'influence du bridage sur les cotes de ce diamètre.

L'étude des déformations par éléments finis nous donne les résultats suivants :

Voir document annexe 2

Question: B.1

Relever sur le dessin de définition (document DT2) les contraintes qualitatives et quantitatives à respecter (valeur chiffrées des tolérances, tolérance de position ..) pour la réalisation de cet usinage.

Question: B.2

Les figures de l'annexe 2 montrent la déformation de la pièce sous l'effet du bridage avant usinage. La pièce étant supposée parfaitement élastique, présentera une ovalisation au niveau du diamètre ϕ 55 lorsqu'elle sera finie et débridée.

Les déformations dues au bridage sont telles compatibles avec les contraintes relevées précédemment sur le dessin de définition ; justifier votre réponse.

C - Analyse du maintien en position de la pièce pendant l'opération de perçage.

La société désire vérifier si l'utilisation du montage d'usinage existant permet le maintien en position des futurs corps de pince peints lors de l'opération d'ébauche du perçage 4 de diamètre 50mm.

Question: C.1

En utilisant les documents DT4 et annexe3, déterminer la valeur de l'effort axial Z et du couple N appliqué par le foret sur la pièce en cours d'usinage.

A l'aide d'un logiciel, l'étude statique du mécanisme a été réalisée en tenant compte d'un facteur d'adhérence de 0,08 aux niveaux des différents contacts avec le corps de pince revêtu de sa peinture.

Question: C.2

Le tableau de l'annexe 4 montre que la pièce décolle sur l'un de ses appuis. Indiquer lequel et justifier.

Question: C.3

Quelle solution technologique proposez-vous pour éviter que la pièce décolle de son appui sans modifier l'isostatisme.

D. Analyse du maintien en position de la pièce par la bride de serrage.

Afin de vérifier que le maintien en position de la pièce n'introduit pas de contrainte pouvant perturber la mise en position isostatique de la pièce et conduire à la production de rebus, nous devons vérifier que cette solution est équivalente à une liaison libre.

1°) Recherche du graphe des liaisons du système de bridage schématisé ci-dessous

Le maintien en position sur le montage de la pièce par la bride, peut être modélisé par le schéma cinématique suivant :

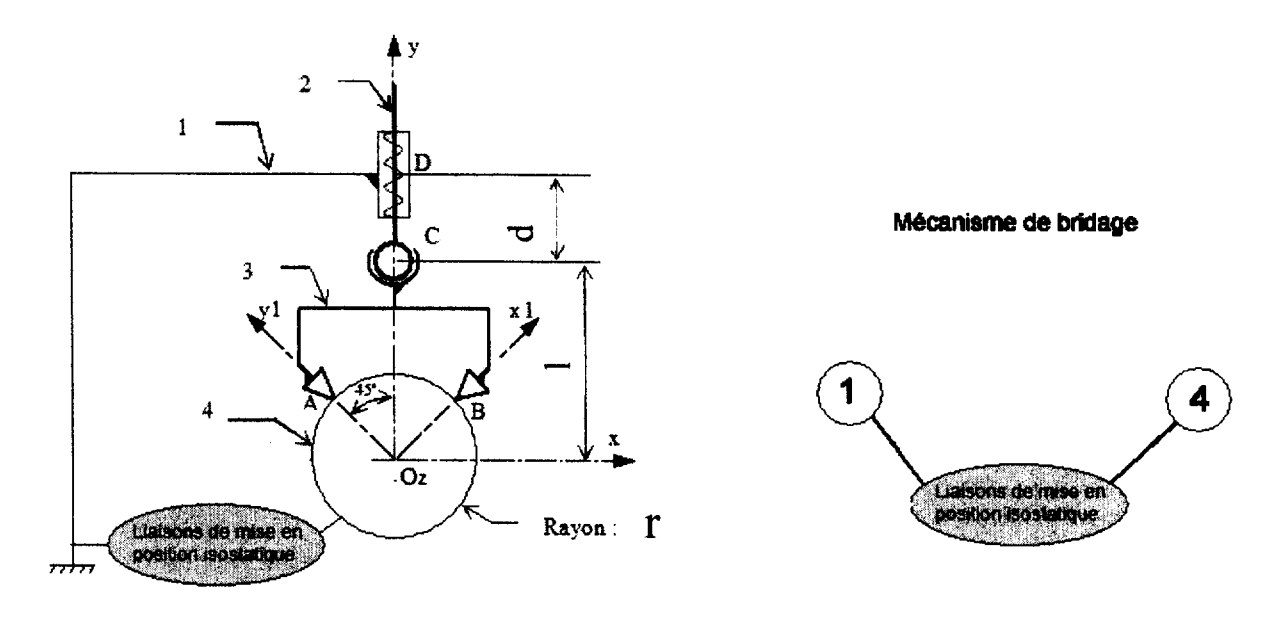


Schéma cinématique

Ebauche du graphe des liaisons

A partir du schéma cinématique et de l'ébauche ci-dessus :

Question: D.1

Réaliser le graphe des liaisons limité au mécanisme de bridage et préciser le nom et les caractéristiques des liaisons retenues.

2°) Recherche de la liaison équivalente globale du système de bridage

Position des centres des liaisons dans le repère (O, x, y, z)

$$\overrightarrow{OA} = \begin{vmatrix} -0.707 \times r & & \\ 0.707 \times r & \overrightarrow{OB} = \begin{vmatrix} 0.707 \times r & \\ 0.707 \times r & & \\ 0 & & 0 \end{vmatrix} = \begin{vmatrix} 0 & & \\ 0.707 \times r & & \\ 0 & & \\ 0 & & & \\ 0 &$$

Les torseurs associés à la liaison Li seront notés : i = lettre désignant le centre de la liaison

Torseur statique
$$\{\overrightarrow{T}_i\} = \begin{cases} X_i & L_i \\ Y_i & M_i \\ Z_i & N_i \end{cases}_{(\overrightarrow{x}, \overrightarrow{y}, \overrightarrow{z})}$$
 Torseur cinématique $\{\overrightarrow{V}_i\} = \begin{cases} \alpha_i & u_i \\ \beta_i & v_i \\ \gamma_i & w_i \end{cases}_{(\overrightarrow{x}, \overrightarrow{y}, \overrightarrow{z})}$

(Utilisation, soit des torseurs statiques, soit des torseurs cinématiques de liaisons).

Question: D.2

Ecrire le torseur de la liaison A en A, et de la liaison B en B dans le repère $Ox_{1,Y_{1},Z_{1}}$

Question: D.3

Montrer que la liaison équivalente L_{43} aux liaisons L_A et L_B au point O est une liaison pivot glissant d'axe O_Z .

Question: D.4

Déterminer la liaison équivalente globale L_{glo} aux liaisons L_{43} , L_C et L_D au point C et en déduire la nature de la liaison équivalente globale L_{glo} . Que pouvez vous en conclure ?

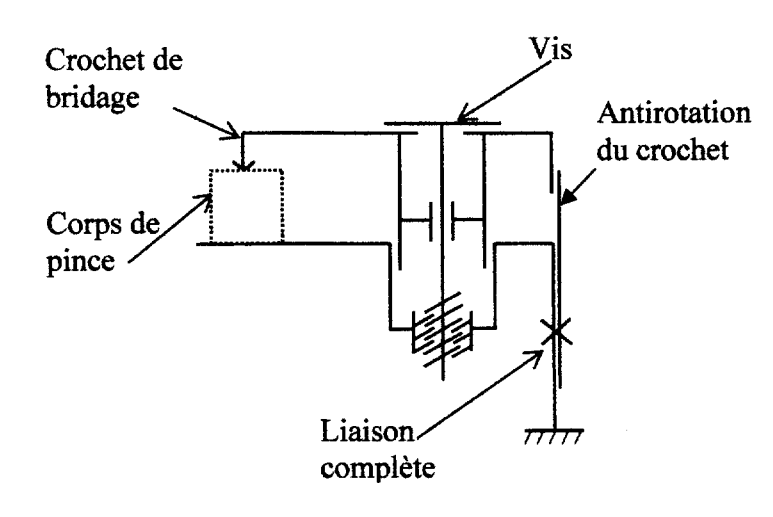
Question: D.5

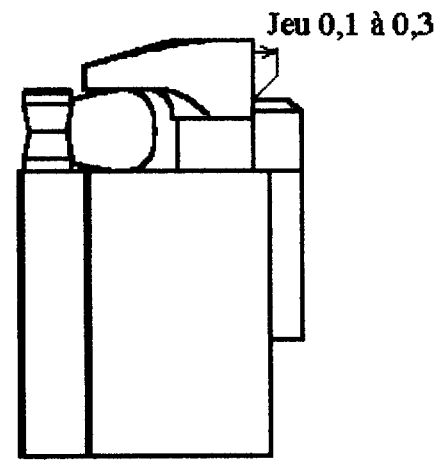
Parmi les trois solutions technologiques (voir annexe 5) précisez celle qui correspond à la modélisation proposée par le schéma cinématique. Justifier votre réponse.

E . Analyse d'une solution permettant l'arrêt en rotation du crochet de bridage sur le corps de pince et un démontage rapide.

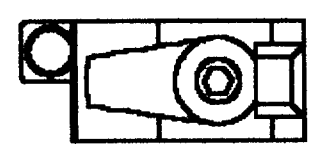
Schéma de la solution actuelle

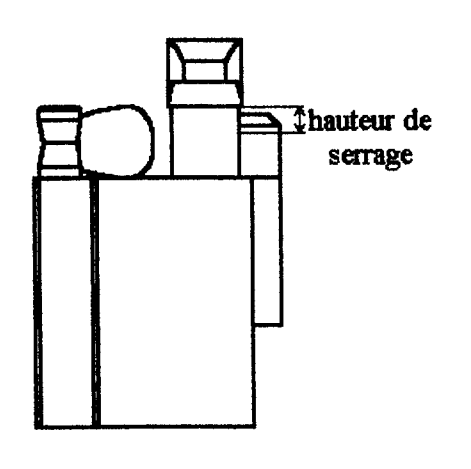
Crochet de bridage en position de serrage



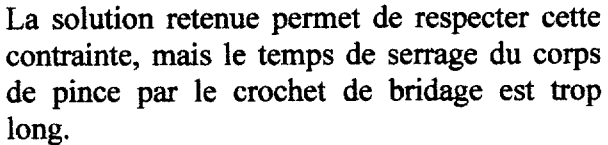


Crochet de bridage en position ouverte



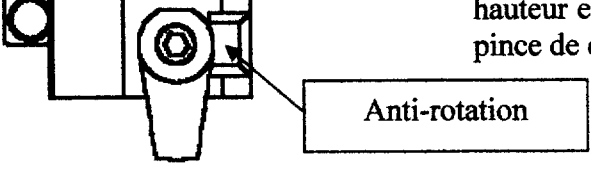


Afin de ne pas détériorer la peinture, <u>il ne faut</u> en aucun cas que le crochet puisse pivoter, <u>lorsqu'il est en contact avec le corps de pince</u>, <u>ou être entraîné en rotation par la vis</u>.



Il faut quatre tours de vis pour pouvoir tourner le crochet de bridage de ¼ de tour.

La solution consistant à diminuer la hauteur de l'anti-rotation n'est pas envisageable car cette hauteur est imposée par la gamme de corps de pince de dimensions différentes.



Question: E.1

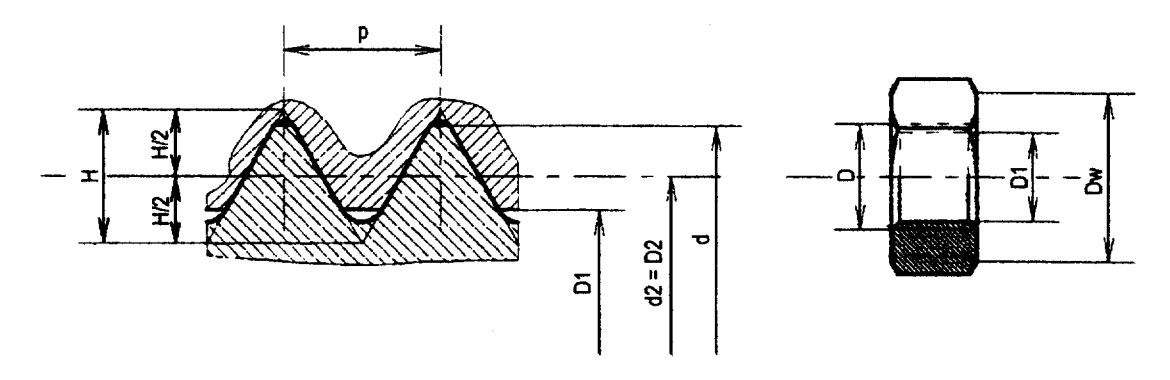
Proposer une solution permettant de réduire le temps de serrage et de desserrage du crochet de bridage, tout en respectant la contrainte imposée. Cette solution sera représentée à l'aide d'un schéma cinématique minimal ou technologique ou d'un croquis à main levée.

F. Synthèse

Question: F

Suite à l'étude des parties A, (B + C), E, lister les modifications à transmettre à l'atelier pour adapter l'ancien outillage au nouveau brut.

CARACTÉRISTIQUES DES VIS ET ÉCROU À PROFIL MÉTRIQUE



$$D_2 = d_2 = d - \frac{3H}{4} = d - 0,6495P$$

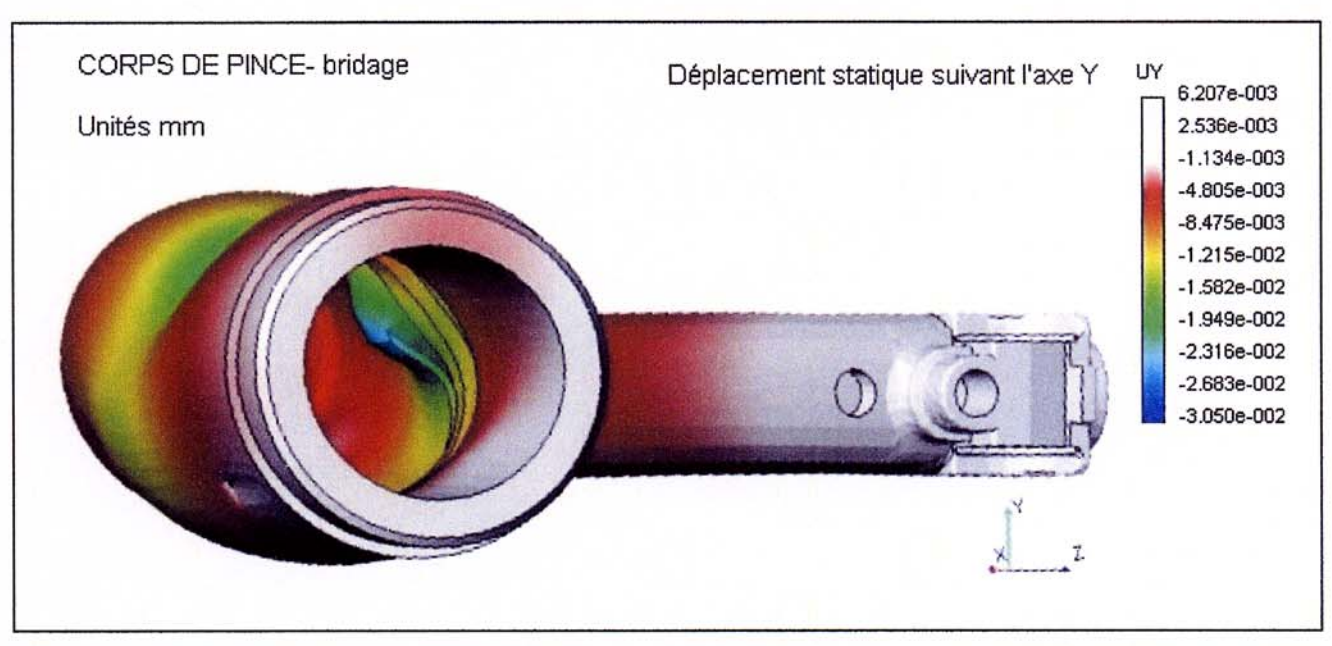
 $D_1 = d_1 = d_2 - 2\left(\frac{H}{2} - \frac{H}{2}\right) = d - 1,0825P$

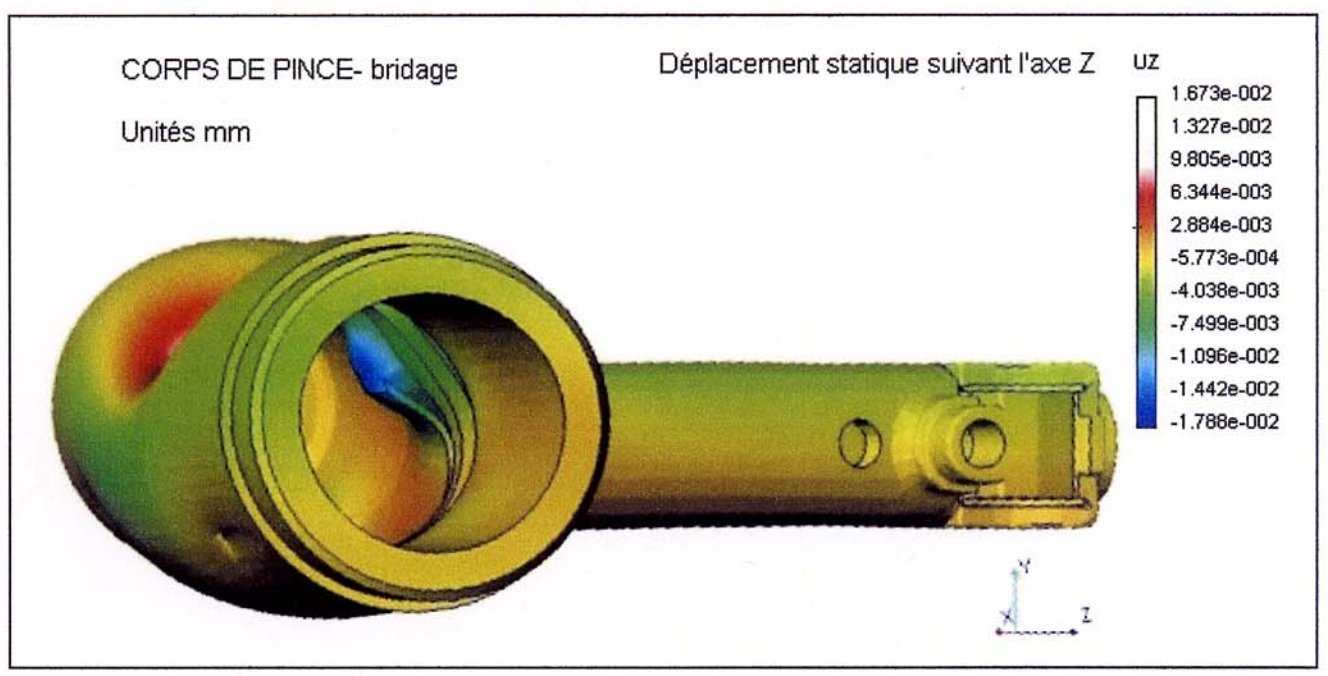
Vis à profil i	métrique ISO (S	Vis à profil métrique ISO (Symbole M)						
Diamètre	Pas	Diamètre sur	Diamètre	Diamètre				
Nominal		flancs	intérieur de	extérieur				
d=D	P	$d_2=D_2$	l'écrou	d'appui				
			D_1	$d_{\mathbf{w}}$				
1,6	0,35	1,373	1,221	2,4				
2	0,41	1,740	1,567	3,1				
2,5	0,45	2,208	2,013	4,1				
3	0,50	2,675	2,459	4,6				
3,5	0,60	3,110	2,850	5,1				
4	0,70	3,545	3,242	5,9				
5	0,80	4,480	4,134	6,9				
6	1	5,350	4,918	8 ,9				
8	1,25	7,188	6,647	11,6				
10	1,50	9,.026	8,376	14,6				
12	1,75	10,863	10,106	16,6				
14	2	12,701	11,855	19,6				
16	2	14,701	13,835	22,5				
18	2,50	16,376	15,294	25,1				
20	2,50	18,376	17,294	27,7				

U41 Annexe 1

PME4AVO page 10/14

ANNEXE 2





Système ISO de Tolérances : Principaux écarts en micromètres

Alésages	Jus 3 in	qu'à iclus	3 inc	à 6 clus	68	10	10	à 18	18	à 30	30	à 50	50	à 80	80 8	120	120	à 180
Н6	+	6	+	8	+	9	+	11 0	+	13 0	+	16 0	+	19 0	+	22 0	+	25 0
Н7	+	10 0	+	12	+	15 0	+	18 0	+	21 0	+	25 0	+	30 0	+	35 0	+	40 0
Н8	+	14	+	18	+	22	+	27 0	+	33 0	+	39 0	+	46 0	+	54 0	+	63 0
Н9	+	25 0	+	30 0	+	36 0	+	43 0	+	52 0	+	62 0	+	74 0	+	87 0	+	100

U41

EFFORTS DE COUPE EN PERCAGE

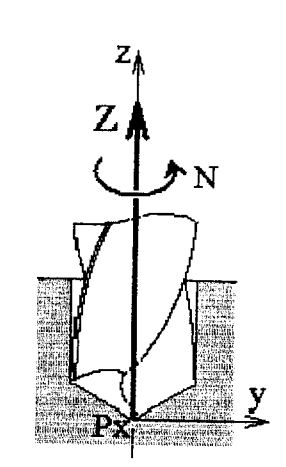
Pour déterminer les efforts de coupe en perçage on utilise des formules établies par essai.

Les formules doivent être utilisées uniquement avec le tableau des coefficients spécifiques de coupe avec lequel elles ont été définies.

Formules définies par le CETIM.

L'action mécanique exercée par le foret sur la pièce lors d'une opération de perçage d'un trou suivant l'axe z peut être modélisée par :

$${T(pièce \rightarrow foret)} = \begin{cases} 0 & 0 \\ 0 & 0 \\ Z & N \end{cases}_{Oxyz}$$



Perçage sans avant trou.

$$Z = K_F \cdot f \cdot d$$
 (en N)

$$N = K_{MC} \cdot f \cdot d^2$$
 (en N.m)

Avec:

K_F: Pression spécifique de coupe en N / mm².

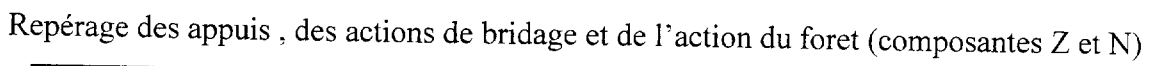
K_{MC}: Moment spécifique de coupe par unité de volume en N.m / mm³.

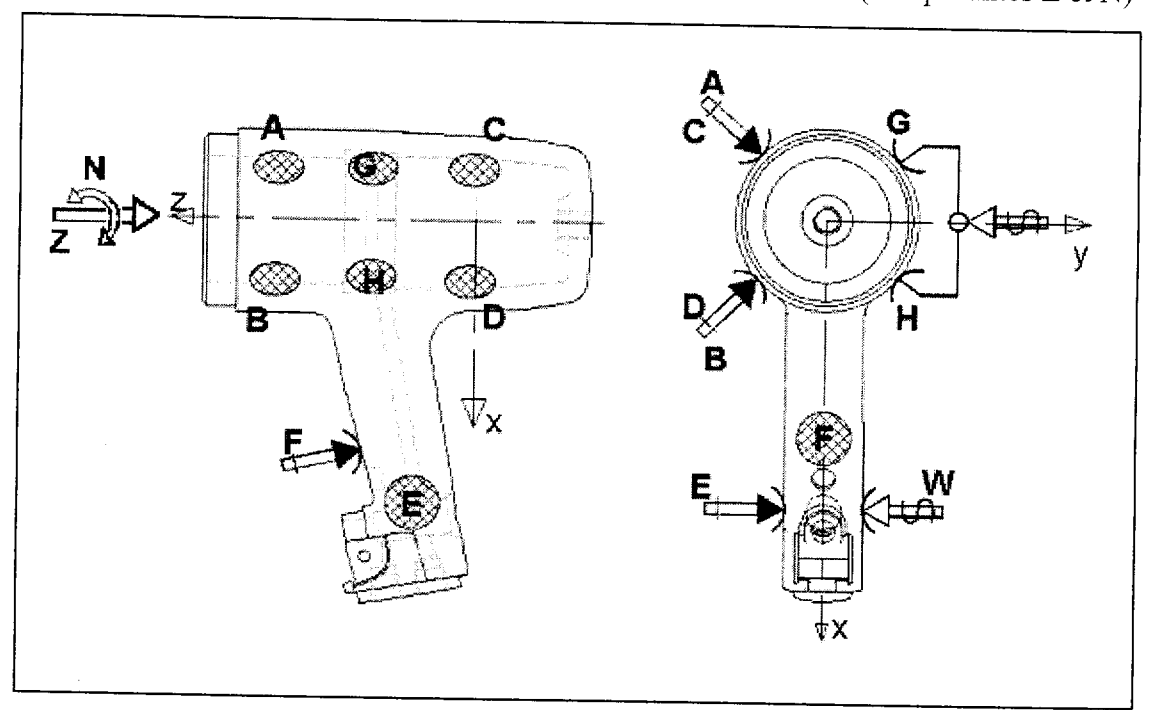
f: Avance en mm / tr.

d: Diamètre du foret en mm.

Tableau des coefficients spécifiques de coupe. (données CETIM)

	TIERES		K	MC (N.m/m	m ³)	$K_F (N / mm^2)$			
Nuance	Dureté	Résistance	Avance en mm / tr						
	(HB)	N/mm²	f<0,2	0,2 <f<0,45< td=""><td>f>0,45</td><td>f<0,2</td><td>0,2<f<0,45< td=""><td>f>0,45</td></f<0,45<></td></f<0,45<>	f>0,45	f<0,2	0,2 <f<0,45< td=""><td>f>0,45</td></f<0,45<>	f>0,45	
S 185			0,39	0,33	0,27	1160	1030	950	
C45	200	660	0,38	0,34	0,30	1360	1170	1130	
30 Cr Ni 6	260		0,45	0,38	0,32	1580	1550	1610	
X 30 Cr 13		970	0,50	0, 41	0,39	2000	1500	1500	
X 5 Cr Ni 18-10	185		0,56	0,45	0,36	1810	1310	1080	
EN-GJL-250	217	250	0,26	0,24	0,21	780	650	600	
EN-GJS-400-15	190		0,35	0,22	0,22	1300	900	900	
Al Cu 4 Mg			0,20	0,16	0,15	1070	760	670	
Al Si 7 Mg			0,21	0,18	0,17	1130	800	700	





contact avec frottement $tg\phi = 0.08$

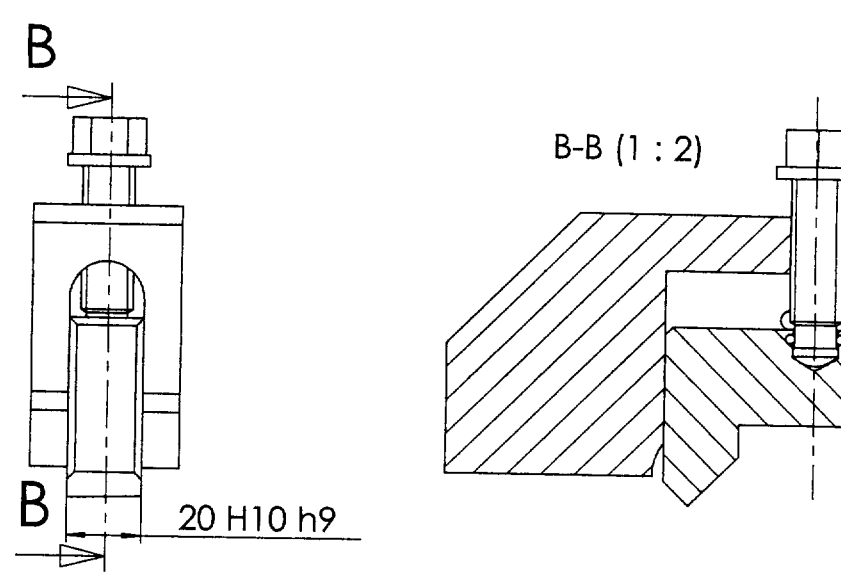
Tableau des résultats

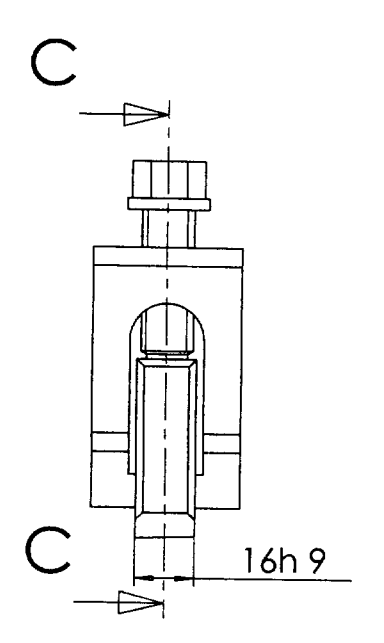
Repère

- bâti
- Corps de pince Palonnier (10)
- Foret
- Crochet de bridage (15)

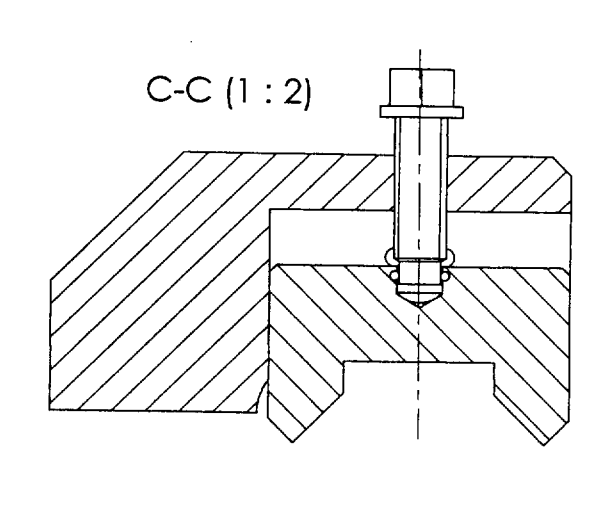
	E DES MECANIS	SMES	Nom du PROBLEME : FRO 00						
Unités: Fo	rces (N)	Longe	urs (mm) Moments (N.mm)						
,	Torseurs statique	s	Torseurs statiques						
	Résultante		Résultante	Moment					
	3517.00	0.0		-169.27	0.0				
$T_{A 0/1}$	3517.00	0.0	$T_{\mathrm{B~0/1}}$	169.27	0.0				
	397.42	0.0		19.12	0.0				
	129.35	0.0		- 4444.73	0.0				
$T_{C~0/1}$	129.35	0.0	$T_{\mathrm{D}~0/1}$	4444.73	0.0				
	32.21	0.0	2 0, 1	1106.73	0.0				
	0.0	0.0		967.64	0.0				
$T_{E\ 0/1}$	1670.21	0.0	$T_{F0/1}$	0.0	0.0				
	133.61	0.0		3721.72	0.0				
	4465.29	0.0		- 4465.29	0.0				
$T_{G2/1}$	- 4465.29	0.0	$T_{ m H~2/1}$	- 4465.29	0.0				
	504.57	0.0		504.57	0.0				
	0.0	0.0							
$T_{3/1}$	0.0	0.0							
	- 6500	-60000							
	0	0.0			'				
$T_{W 4/1}$	-1000	0.0							
77 7/1	80	0.0			ŀ				

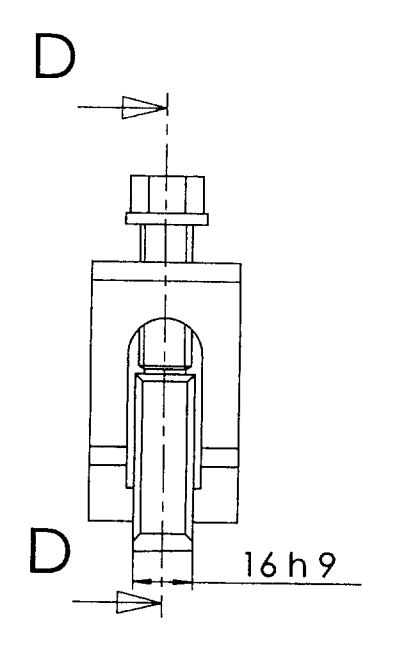
Solution 1



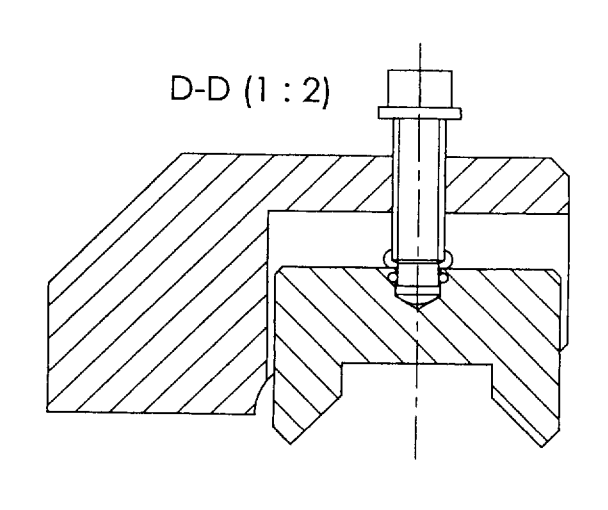


Solution 2





Solution 3



Annexe 5